



A XII-a Conferință Națională multidisciplinară – cu participare internațională
"Profesorul Dorin PAVEL – fondatorul hidroenergeticii românești",
SEBEȘ, 2012

MODELUL MATEMATIC ȘI SIMULAREA CAD A FREZEI-MELC DE PRELUCRARE A ROȚII PLANE DIN ANGRENAJUL MELC-ROATĂ PLANĂ

Ileana-Dacia NAPĂU, Radu NAPĂU-STOICA,
Mircea NAPĂU, Ioan NAPĂU

MATHEMATICAL MODEL AND CAD SIMULATION OF THE HOB FOR MACHINING THE FACE GEAR FROM THE WORM-FACE GEAR DRIVE

The paper presents a study related to mathematical modeling and CAD simulation of the hobs used for machining the face gears teeth, from the worm-face gear drives in which the worm is of ZK1-type. The study is limited to determination of mathematical relations necessary for hobs design, as well as for their CAD modeling. Some practical example results of 3D CAD models, built on developed theory for hobs used in machining particular face gears, are also presented.

Cuvinte cheie: angrenaj melc-roată plană, freză-melc, simulare CAD
Keywords: worm-wheel gear flat, rotary-screw, CAD simulation

1. Suprafețele melcului înfășurător al frezei-melc

Roțile plane ale angrenajelor melc-roată plană, pot fi prelucrate pe mașini-unelte convenționale de danturat prin procedeul de danturare tangențial cu ajutorul unei freze-melc, având elicoidul cvasi-identic cu elicoidul melcului piesă necorijat, excepție făcând lățimea golului între spirele frezei-melc și diametrele de cap și respectiv de picior ale frezei-

melc. Mișcările relative dintre freza-melc și semifabricatul roții plane, specifice acestui mod de generare sunt prezentate în figura 1.

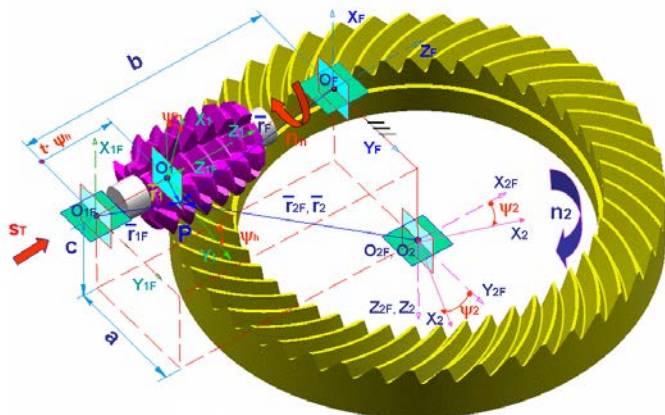


Fig. 1

Generarea flancurilor dinților roții plane, prin procedeul de frezare tangențial cu freza-melc

Modelul matematic al elicoidului frezei-melc de tip ZK1 (figura 2), poate fi descris univoc prin sistemele de ecuații (1), (2) și (3), în care semnul (-) corespunde sensului de înclinare dreapta, iar semnul (+) sensului de înclinare stânga al elicei elicoidului frezei-melc [1].

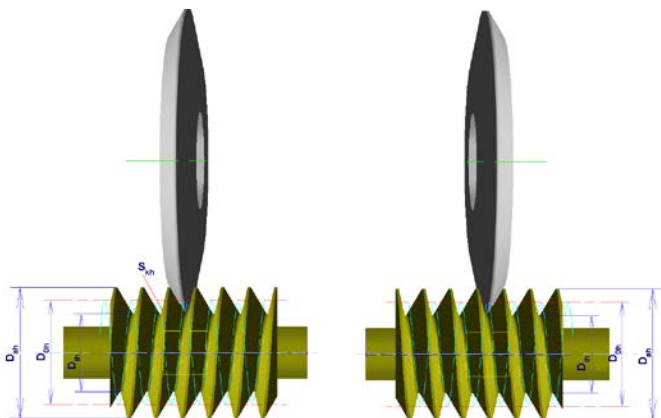


Fig. 2

Melcul înfășurător sens stânga și dreapta al frezei-melc

Ecuțiile (1) reprezintă coordonatele suprafețelor active ale spirelor în punctele suprafeței active a melcului înfășurător al frezei-melc de tip ZK1, ecuațiile (2) sunt expresiile normalelor unitare, iar

ecuațiile (3) reprezintă ecuațiile angrenării disc-melc înfășurător al frezei-melc, unde $k = 1, 2$, este un contor corespunzător flancului având unghiul de presiune mare, respectiv flancului având unghiul de presiune mic al melcului înfășurător.

$$\left\{ \begin{array}{l} x_{hk} = u_{ksh} \cdot [\cos \alpha_{ks} \cdot \cos \theta_{ks} \cdot \sin \psi_s - \cos \alpha_{ks} \cdot \cos \gamma_{01} \cdot \sin \theta_{ks} \cdot \cos \psi_s \mp \\ (3-2k) \cdot \sin \alpha_{ks} \cdot \sin \gamma_{01} \cdot \cos \psi_s] \pm (3-2k) \cdot b_{ksh} \cdot \sin \gamma_{01} \cdot \cos \psi_s - a_s \cdot \sin \psi_s \\ y_{hk} = -u_{ksh} \cdot [\cos \alpha_{ks} \cdot \cos \theta_{ks} \cdot \cos \psi_s + \cos \alpha_{ks} \cdot \cos \gamma_{01} \cdot \sin \theta_{ks} \cdot \sin \psi_s + \\ + (3-2k) \cdot \sin \alpha_{ks} \cdot \sin \gamma_{01} \cdot \sin \psi_s] \pm (3-2k) \cdot b_{ksh} \cdot \sin \gamma_{01} \cdot \sin \psi_s + a_s \cdot \cos \psi_s \\ z_{hk} = u_{ksh} \cdot [\cos \alpha_{ks} \cdot \sin \theta_{ks} \cdot \sin \gamma_{01} \mp (3-2k) \cdot \sin \alpha_{ks} \cdot \cos \gamma_{01}] \mp \\ h \cdot \psi_s + (3-2k) \cdot b_{ksh} \cdot \cos \gamma_{01} \end{array} \right. \quad (1)$$

$$\left\{ \begin{array}{l} n_{xhk} = -(3-2k) \cdot \sin \alpha_{ks} \cdot \cos \theta_{ks} \cdot \sin \psi_s + \cos \psi_s \cdot [(3-2k) \cdot \sin \alpha_{ks} \cdot \sin \theta_{ks} \cdot \cos \gamma_{01} \mp \\ \cos \alpha_{ks} \cdot \sin \gamma_{01}] \\ n_{yhk} = (3-2k) \cdot \sin \alpha_{ks} \cdot \cos \theta_{ks} \cdot \cos \psi_s + \sin \psi_s \cdot [(3-2k) \cdot \sin \alpha_{ks} \cdot \sin \theta_{ks} \cdot \cos \gamma_{01} \mp \\ \cos \alpha_{ks} \cdot \sin \gamma_{01}] \\ n_{zhk} = \mp (3-2k) \cdot \sin \alpha_{ks} \cdot \sin \theta_{ks} \cdot \sin \gamma_{01} - \cos \alpha_{ks} \cdot \cos \gamma_{01} \end{array} \right. \quad (2)$$

$$u_{ksh} = b_{ksh} \sin \alpha_{ks} \mp (3-2k) \left(a_s \cdot \sin \alpha_{ks} \cdot \operatorname{ctg} \gamma_{01} + h \cdot \sin \alpha_{ks} \right) \operatorname{tg} \theta_{ks} + \\ + \frac{(a_s - h \cdot \operatorname{ctg} \gamma_{01}) \cos \alpha_{ks}}{\cos \theta_{ks}} \quad (3)$$

2. Fața de degajare a frezei-melc

Fața de degajare S_γ a frezei-melc este un elicoid riglat, generat geometric de către dreapta Γ_d , care se deplasează de-a lungul axei $O_Y Z_\gamma$, sprijinindu-se pe elicea Γ_E (normală pe elicea de referință

mediană a melcului înfășurător și tangentă cilindrului de degajare S_c de rază r_γ (figura 3).

Suprafața feței de degajare S_γ , a frezei-melc de înclinare stânga, respectiv normala unitară la fața de degajare S_γ , raportate la sistemul de referință Σ_γ , sunt exprimate univoc prin ecuațiile (4), respectiv (5).

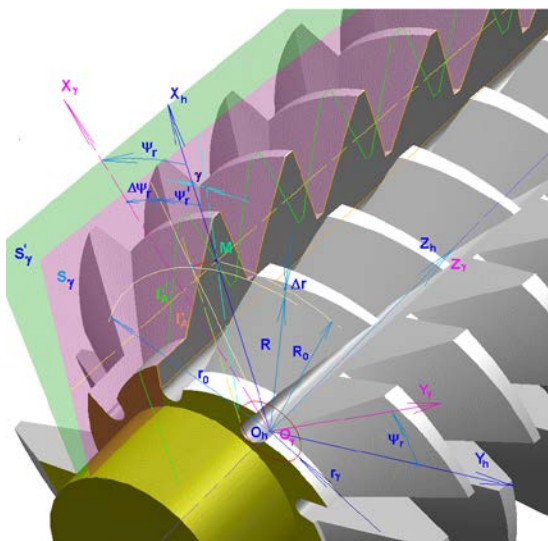
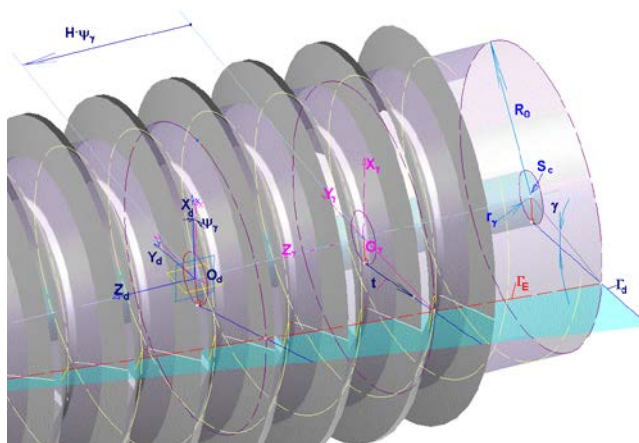


Fig. 3

Generarea feței de degajare a frezei-melc

$$\begin{bmatrix} x_\gamma \\ y_\gamma \\ z_\gamma \\ 1 \end{bmatrix} = \begin{bmatrix} t \sin(\gamma - v_\gamma) - r_\gamma \cos(\gamma - v_\gamma) \\ t \cos(\gamma - v_\gamma) + r_\gamma \sin(\gamma - v_\gamma) \\ H \cdot V_\gamma \\ 1 \end{bmatrix} \quad (4)$$

$$N_\gamma = \begin{bmatrix} n_{\gamma x} \\ n_{\gamma y} \\ n_{\gamma z} \\ 1 \end{bmatrix} = \begin{bmatrix} -\cos(\gamma - \psi_\gamma) \\ +\sin(\gamma - \psi_\gamma) \\ -\frac{t}{H} \\ 0 \end{bmatrix} \quad (5)$$

3. Muchia de aşchiere și fața de așezare a frezei-melc

Muchia de aşchiere teoretic exactă Γ_{AK} (figura 4) se definește ca intersecția dintre fața de degajare S_γ și elicoizii $S_{h\gamma}$ ce reprezintă flancurile melcilor înfășurători ai frezei melc. Muchia Γ_{AK} se raportează la sistemul Σ_M suprapus sistemului de referință Σ_{hk} . Suprafața S_γ se consideră într-o poziție oarecare determinată de starea de reascuțire a frezei, caracterizată de unghiul ψ_r .

Matricea de transformare între sistemele Σ_γ și Σ_h are forma:

$$M_{h\gamma} = \begin{bmatrix} \cos \psi_r & \sin \psi_r & 0 & 0 \\ -\sin \psi_r & \cos \psi_r & 0 & 0 \\ 0 & 0 & 1 & 0 \\ 0 & 0 & 0 & 1 \end{bmatrix} \quad (6)$$

Având în vedere definiția dată, muchia aşchietoare se exprimă în funcție de parametrul u_{ksh} , prin relația:

$$\mathbf{r}_M = \mathbf{r}_{hk}(u_{ksh}, \psi_h) = \mathbf{r}_M(u_{ksh}) \quad (7)$$

în care r_{hk} este dat de relațiile (1).

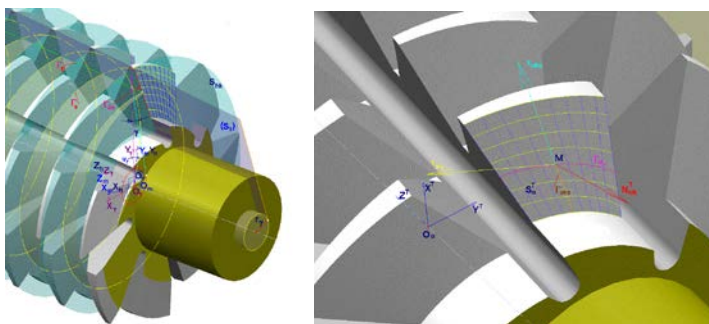


Fig. 4 Definirea muchiei de așchiere și a feței de așezare a frezei-melc

Prin prelucrări succesive, expresia de definire a muchiei de așchiere exacte devine:

$$y_{hk}(u_{ks}, \psi_h) \cdot \operatorname{tg} \left[\gamma + \psi_r - \frac{z_{hk}(u_{ks}, \psi_h)}{H} \right] - r_\gamma \cdot \operatorname{tg} \left[\gamma + \psi_r - \frac{z_{hk}(u_{ks}, \psi_h)}{H} \right] \sin \left[\gamma + \psi_r - \frac{z_{hk}(u_{ks}, \psi_h)}{H} \right] -$$

$$- r_\gamma \cos \left[\gamma + \psi_r - \frac{z_{hk}(u_{ks}, \psi_h)}{H} \right] - x_{hk}(u_{ks}, \psi_h) = 0 \quad (8)$$

Prin definiție, suprafața detalonată teoretic exactă S^T_{alk} (figura 4.), este locul geometric al muchiilor de așchiere exacte, pentru variația continuă a parametrului reascuțirii ψ_r , și se poate exprima cu ajutorul relației:

$$\mathbf{r}_{hk} = \mathbf{M}_{hy} \cdot \mathbf{r}_y \quad (9)$$

4. Modelul CAD ale frezei-melc de danturare a roții plane

Modelele 3D CAD ale unor freze-melc sugestive, destinate prelucrării unor cazuri particulare de roți plane, obținute prin utilizarea metodei de simulare numerică CMS [1], sunt prezentate în figurile 5, 6 și 7.

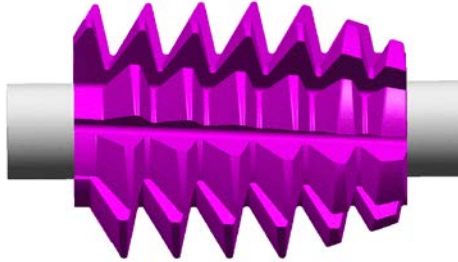


Fig. 5 Freză melc pentru prelucrarea danturii roții plane
($z_1 = 1$, $z_2 = 45$, $a = 57.15$)

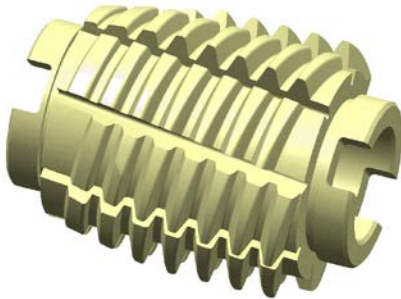


Fig. 6

Freză melc cu mai multe
începuturi pentru prelucrarea
danturii roții plane ($z_1 = 3$, $z_2 =$
 75 , $a = 93.472$ mm)



Fig. 7

Model 3D CAD al
frezei melc de
danturare a unei roți
plane
de dimensiuni mici (z_1
 $= 1$, $z_2 = 60$, $a = 16$
mm)

5. Concluzii

Formularea relațiilor matematice de calcul specifice proiectării frezelor-melc pentru danturarea roților plane permite dezvoltarea modelelor CAD și simularea virtuală a prelucrării frezelor-melc,

respectiv a roților plane, apriori dezvoltării fazei prototip, cu implicații asupra reducerii costului și a ciclului de fabricație a acestora.

BIBLIOGRAFIE

[1] Napău, I.D., *Contribuții la modelarea, simularea și experimentarea angrenajelor melc-roată plană cu contact localizat*, Teză de doctorat, Universitatea Tehnică din Cluj-Napoca, România, 2005.

Dr.Ing. Ileana-Dacia NAPĂU
Colegiul Tehnic "Ion D. Lăzărescu" Cugir, membru AGIR
email: ndacia@yahoo.com

Dipl.Ing. Jr. Radu NAPĂU-STOICA
S.C. Team Technology & Services S.R.L. Romania
email: r_napau@yahoo.com

Dr.Ing. Dipl.Math. Mircea NAPĂU
Johnson Controls Inc., USA, membru AGIR
email: m.napau@crh-group.com

Dr.Ing. Dipl.Math. Ioan NAPĂU
General Motors LLC, USA, membru AGIR
email: ioan.napau@gm.com